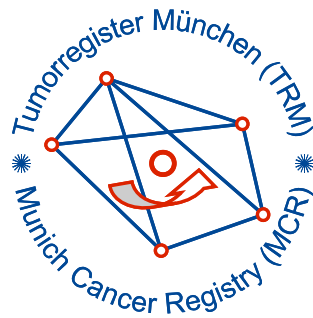


Tumorregister München



- ▶ Survival
- ▶ Auswahlmatrix
- ▶ Homepage
- ▶ English

ICD-10 C56: Ovarialtumor

Inzidenz und Mortalität

Diagnosejahr	1998-2020
Patienten	8 693
Erkrankungen	8 696
Erstellungsdatum	20.12.2021
Datenbankexport	20.12.2021
Population (Frauen)	2,50 Mio.






Tumorregister München
Bayerisches Krebsregister - Regionalzentrum München
am Klinikum Großhadern/IBE
Marchioninstr. 15
81377 München
Deutschland

<https://www.tumorregister-muenchen.de>

https://www.tumorregister-muenchen.de/facts/base/bC56__G-ICD-10-C56-Ovarialtumor-Inzidenz-und-Mortalitaet.pdf

Index der Abbildungen und Tabellen

Abb./Tab.		Seite
1	Alle Fälle mit DCO-Anteil, weiteren Malignomen, Verstorbenen, Follow-up-Qualität nach Diagnosejahr	4
2	Inzidenz nach Diagnosejahr	5
3	Kenngrößen der Altersverteilung nach Diagnosejahr	6
4	Altersverteilung nach 5 Jahres-Altersklassen	7
5	Altersspezifische Inzidenz, DCO-Anteil, Anteil an allen malignen Tumoren	8
6	Altersverteilung und altersspezifische Inzidenz (Grafik)	9
6a	Altersspezifische Inzidenz international (Grafik)	10
7	Standardisierte Inzidenzratio von weiteren Malignomen	11
8a	Kartierung Inzidenz (BRD-S) nach Landkreisen (Grafik)	12
8b	Standardisierte Inzidenzratio (SIR) nach Landkreisen (Grafik)	13
9a	Mortalität nach Inzidenz-Kohorten	14
9b	Inzidenz und Mortalität nach Jahrgängen	15
9c	Tumorbedingt Verstorbene, mit Todesbescheinigung	16
10	Sterbealter Mediane	17
11	Mortalität nach Sterbejahr	18
12	Altersverteilung nach 5 Jahres-Altersklassen	19
13	Altersspezifische Mortalität	20
14	Weitere Tumoren bei Verstorbenen	21
15	Altersspezifische Mortalität (Erstmalignome)	23
16	Altersspezifische Mortalität (Einfachmalignome)	24
17	Altersverteilung und altersspezifische Mortalität (Grafik)	25
18a	Kartierung Mortalität (BRD-S) nach Landkreisen (Grafik)	26
18b	Standardisierte Mortalitätsratio (SMR) nach Landkreisen (Grafik)	27

**Allgemeine Anmerkungen zu den Auswertungen im Internet –
Basisstatistiken (graue Taste ) , Überleben (rote Taste )
und spezielle Auswertungen (blaue Taste )**

Mit diesen Auswertungen belegen Kliniken und Ärzte für ganz Oberbayern und die Stadt und den Landkreis Landshut[#], zusammen 4,69 Mio. Einwohner, die Krebserkrankungshäufigkeiten^{##} und die erreichten Langzeitergebnisse. Das im Tumorregister München (TRM) berechnete Überleben wird mit den Ergebnissen der bevölkerungsbezogenen Krebsregistrierung in den USA (SEER) verglichen.

Bei Zusammenschau mehrerer Tabellen fallen immer wieder unterschiedliche Summen auf. Diese beruhen darauf, dass einmal Patienten die Berechnungsgrundlage bilden, z.B. wenn es um Anteile von Mehrfachtumoren oder DCO-Fällen^{###} geht. Im anderen Fall sind die einzelnen Tumordiagnosen Grundlage der Berechnung, z.B. wenn es um Inzidenzen geht.

Die Fußzeile beschreibt die Aktualität der Daten. Einmal jährlich werden die Basisstatistiken und das Überleben aktualisiert. Diese jährliche Aufbereitung stellt somit den Jahresbericht des TRM dar.

Die Kliniken und Ärzte haben selbstverständlich Zugang zu wesentlich detaillierteren Daten, anhand derer sie ihre Daten und Ergebnisse prüfen, vergleichen und gegebenenfalls optimieren.

Tumorregister München, im Dezember 2021

Basisdaten werden ab 1998 ausgewiesen. Erkennbar ist die Zunahme der Neuerkrankungen, die durch zweimalige Erweiterung des Einzugsgebietes begründet ist (2002 von 2,65 Mio. auf 4,10 und 2007 auf 4,69 Mio. Einwohner).

Wegen der großen Häufigkeit und der guten Prognose der nicht-melanomatösen Hautkrebserkrankungen (C44) erfolgt keine systematische Erfassung. C44 wird nicht als Ersttumor ausgewiesen, allerdings als ein Folgetumor.

DCO (death certificate only) bezeichnet eine Krebserkrankung, die dem TRM erst mit der Todesbescheinigung zugänglich wurde.

ICD-10-Kodes (ICD-10-GM 2015) zur Kollektiv-Definition

Kode	Bezeichnung
C56	Bösartige Neubildung des Ovars

... falls nicht vorhanden ...

Lokalisationskodes (ICD-O-3 2014) zur Kollektiv-Definition

Kode	Bezeichnung
C48.-	Retroperitoneum und Peritoneum
C49.-	Bindegewebe, Subkutangewebe und sonstige Weichteile
C57.0	Sonstige und nicht näher bezeichnete Teile der weiblichen Geschlechtsorgane: Eileiter

Extraovarielle Karzinome sind zusätzlich mit Hilfe interner Kodierung ausgeschlossen.

INZIDENZ

Tabelle 1

Fälle mit invasivem Tumor nach Diagnosejahren, Anteil von DCO, weiteren Malignomen, Verstorbenen und gutem Follow-up (einschl. DCO)

Diagnose- jahr	Alle Fälle n	DCO- Fälle n	Anteil DCO %	Anteil mind. 1 weiteres Malignom vorher + synchron %	Anteil mind. 1 weiteres Malignom nachher %	Anteil verstorben %	Anteil gutes Follow-up %
1998	280	45	16.1	12.1	6.2	83.6	97.9
1999	260	31	11.9	13.1	6.1	81.2	98.5
2000	267	40	15.0	14.1	6.1	81.3	98.1
2001	234	42	17.9	14.2	5.9	79.5	97.0
2002	427	78	18.3	15.9	5.8	83.6	98.6 #
2003	442	77	17.4	15.3	5.7	79.9	98.0
2004	382	63	16.5	15.2	5.5	84.0	97.9
2005	362	49	13.5	15.3	5.3	82.6	96.7
2006	403	46	11.4	15.3	5.2	80.1	98.0
2007	483	73	15.1	15.6	5.0	78.3	94.4 #
2008	493	70	14.2	15.4	4.8	75.3	98.4
2009	393	47	12.0	15.4	4.7	72.5	98.5
2010	447	59	13.2	15.7	4.5	77.9	97.5
2011	422	53	12.6	16.0	4.1	74.6	98.8
2012	392	35	8.9	16.0	3.8	69.4	98.0
2013	448	53	11.8	16.0	3.6	68.1	98.9
2014	404	55	13.6	16.2	3.4	65.8	96.8
2015	406	47	11.6	16.3	3.3	67.5	97.8
2016	420	46	11.0	16.4	3.6	62.1	99.5
2017	381	35	9.2	16.6	3.2	52.2	98.7
2018	358	25	7.0	16.8	2.4	41.1	99.4
2019	286	4	1.4	16.9	1.6	31.8	99.7
2020	306	3	1.0	17.1	1.4	21.6	99.7 ##
1998-2020	8696	1076	12.4	17.1	6.2	69.9	98.1

8 696 Diagnosen aus den Jahren 1998-2020 beziehen sich auf insgesamt 8 693 Patienten. Von diesen 8 693 Patienten sind derzeit 2 172 Patienten (25,0 %) mit mehr als einem Malignom registriert, das auch eine andere Tumorart sein kann. Dabei gibt es 1 756 / 361 / 55 (20,2 % / 4,2 % / 0,6 %) Krankheitsverläufe mit 2 / 3 / >3 Malignomen.

Der Anstieg der Fallzahlen in 2002 und 2007 ist durch Erweiterungen des Einzugsgebiets begründet.

Bitte beachten: Die Bearbeitung der letzten Jahrgangskohorten ist noch nicht abgeschlossen. Die ausgewerteten Jahrgänge entnehmen Sie bitte den jeweiligen Überschriften.

Lesehilfe:

Im Jahr 2018 ist eine Gruppe von 358 Fällen diagnostiziert worden, von denen 16,8 % vorher und/oder zeitgleich (synchron) mindestens ein weiteres Malignom hatten, das auch eine andere Tumorart sein kann. Bei 2,4 % der Fälle ist im Follow-up mindestens ein neues Malignom aufgetreten (alle Zahlen beziehen sich auf das Datum des Datenbankexports, s. Deckblatt).

Tabelle 2

Inzidenzen nach Diagnosejahr einschl. DCO-Fälle
(ab 2002 erweitertes Einzugsgebiet von 2,65 auf 4,10 Mio.,
ab 2007 von 4,10 auf 4,94 Mio. berücksichtigt)

Diagnose- jahr	Anzahl n	Inzidenz roh	Inzidenz WS	Inzidenz ES	Inzidenz BRD-S
1998	280	23.8	12.9	17.7	21.1
1999	260	21.9	10.8	15.5	18.9
2000	267	22.2	11.3	16.0	19.3
2001	234	19.2	10.2	14.0	16.6
2002	427	21.8	10.8	15.3	18.7
2003	442	22.4	11.4	16.0	19.2
2004	382	19.3	9.9	13.8	16.6
2005	362	18.2	8.8	12.3	15.1
2006	403	20.1	9.7	13.7	16.7
2007	483	20.9	10.0	14.3	17.3
2008	493	21.2	10.6	14.8	17.9
2009	393	16.9	8.1	11.4	14.1
2010	447	19.1	9.1	12.9	15.6
2011	422	18.1	8.7	12.3	14.9
2012	392	16.6	8.0	11.0	13.4
2013	448	18.8	9.5	13.0	15.5
2014	404	16.8	8.2	11.3	13.5
2015	406	16.7	8.0	11.2	13.4
2016	420	17.1	7.8	11.0	13.5
2017	381	15.5	7.4	10.4	12.5
2018	358	14.4	7.3	10.0	11.7
2019	286	11.5	5.5	7.7	9.3
2020	306	12.3	6.5	8.8	10.2
1998-2020	8696	18.0	8.8	12.4	14.9

Bei der Inzidenzberechnung wird jede Tumordiagnose (unabhängig ob Ersttumor oder nicht) berücksichtigt.

Tabelle 3

Kenngrößen der Altersverteilung nach Diagnosejahr
(mit DCO)

Diagnose- jahr	Anzahl n	Mittel- wert	Std. abw.	Median						
				Min.	Max.	10%	25%	50%	75%	90%
1998	280	64.8	16.2	14.6	92.1	43.5	55.2	66.6	77.0	85.1
1999	260	67.3	14.3	16.5	96.5	49.6	58.2	67.9	78.5	85.1
2000	267	66.9	14.2	19.9	94.8	47.3	57.4	66.5	78.8	85.3
2001	234	64.7	15.7	26.3	98.8	41.5	54.9	65.4	76.8	85.4
2002	427	67.3	14.3	13.2	96.6	47.9	59.0	68.2	78.3	83.4
2003	442	66.4	14.9	7.6	95.3	46.7	56.3	67.4	78.1	83.5
2004	382	66.4	15.1	15.9	97.3	45.8	56.6	66.6	78.2	84.4
2005	362	67.6	14.9	19.2	96.4	45.7	57.7	68.2	79.9	84.9
2006	403	67.7	14.4	24.9	95.8	45.8	57.9	69.0	79.1	84.6
2007	483	68.1	14.2	19.8	98.1	48.5	58.4	69.4	79.3	85.8
2008	493	66.8	15.1	11.1	102	46.5	57.9	68.4	78.4	84.9
2009	393	67.3	15.0	11.2	97.6	46.7	56.3	69.2	78.8	84.5
2010	447	68.0	14.6	17.0	98.5	48.9	58.2	69.1	78.4	86.7
2011	422	67.4	13.7	4.1	94.5	49.7	58.6	69.4	77.4	83.6
2012	392	67.7	15.4	5.4	95.9	47.8	59.2	70.0	79.2	85.3
2013	448	66.5	15.1	9.1	100	48.1	56.9	68.8	77.2	84.5
2014	404	66.7	15.8	13.3	96.8	45.4	56.8	69.9	78.1	85.1
2015	406	67.2	14.8	16.5	101	47.6	57.0	68.7	77.9	85.2
2016	420	68.0	14.6	4.9	97.3	49.8	58.6	70.1	78.8	84.6
2017	381	66.7	14.2	26.2	94.7	48.3	56.1	67.9	77.9	83.9
2018	358	65.6	14.9	19.6	96.2	44.9	55.0	66.2	77.4	83.3
2019	286	66.6	13.8	14.6	95.3	47.5	58.1	67.5	77.2	82.4
2020	306	64.7	14.2	17.3	96.3	48.2	55.4	65.6	75.6	81.6
1998-2020	8696	66.9	14.8	4.1	102	47.3	57.4	68.2	78.2	84.6

Tabelle 4

Altersverteilung nach 5 Jahres-Altersklassen für 2007-2020
(mit DCO)

Alter bei Diagnose Jahre	Anzahl		Kum.
	n	%	%
0-4	2	0.0	0.0
5-9	2	0.0	0.1
10-14	9	0.2	0.2
15-19	22	0.4	0.6
20-24	19	0.3	1.0
25-29	36	0.6	1.6
30-34	54	1.0	2.6
35-39	92	1.6	4.2
40-44	187	3.3	7.5
45-49	294	5.2	12.7
50-54	451	8.0	20.7
55-59	557	9.9	30.6
60-64	577	10.2	40.8
65-69	708	12.6	53.4
70-74	709	12.6	66.0
75-79	796	14.1	80.1
80-84	613	10.9	90.9
85+	511	9.1	100.0
Gesamt	5639	100.0	

Tabelle 5

Altersspezifische Inzidenz mit DCO-Anteil und Anteil an allen Krebserkrankungen für 2007–2020

Alter bei Diagnose Jahre	Anzahl n	Altersspez. Inzidenz	DCO-Rate n=605 %	Anteil Krebs n=155051 %
0– 4	2	0.1		1.2
5– 9	2	0.1		2.0
10–14	9	0.6		7.0
15–19	22	1.4		8.3
20–24	19	1.0		3.7
25–29	36	1.6	2.8	3.0
30–34	54	2.4	1.9	2.5
35–39	92	4.0		2.6
40–44	187	7.7	2.7	3.0
45–49	294	11.3	2.0	3.1
50–54	451	18.0	1.8	3.6
55–59	557	25.6	4.5	4.2
60–64	577	30.4	3.8	3.7
65–69	708	39.0	6.1	3.7
70–74	708	41.2	8.1	3.6
75–79	796	53.0	11.4	4.1
80–84	613	57.6	21.0	4.0
85+	511	49.0	42.5	3.1
Gesamt	5638		10.7	3.6
Inzidenz				
Roh		16.8		
WS		8.1		
ES		11.4		
BRD–S		13.7		

Die altersspezifische Inzidenz beschreibt das Erkrankungsrisiko in den jeweiligen Altersklassen; die Altersverteilung ist von der Besetzung der jeweiligen Altersklasse abhängig und beschreibt das erfahrbare Krankheitsbild aus dem Versorgungsalltag (s. folgende Abbildung).

ICD-10 C56: Bösartige Neubildung des Ovars (nur invasiv)

Altersverteilung und altersspez. Inzidenz 2007 - 2020 (n=5638)

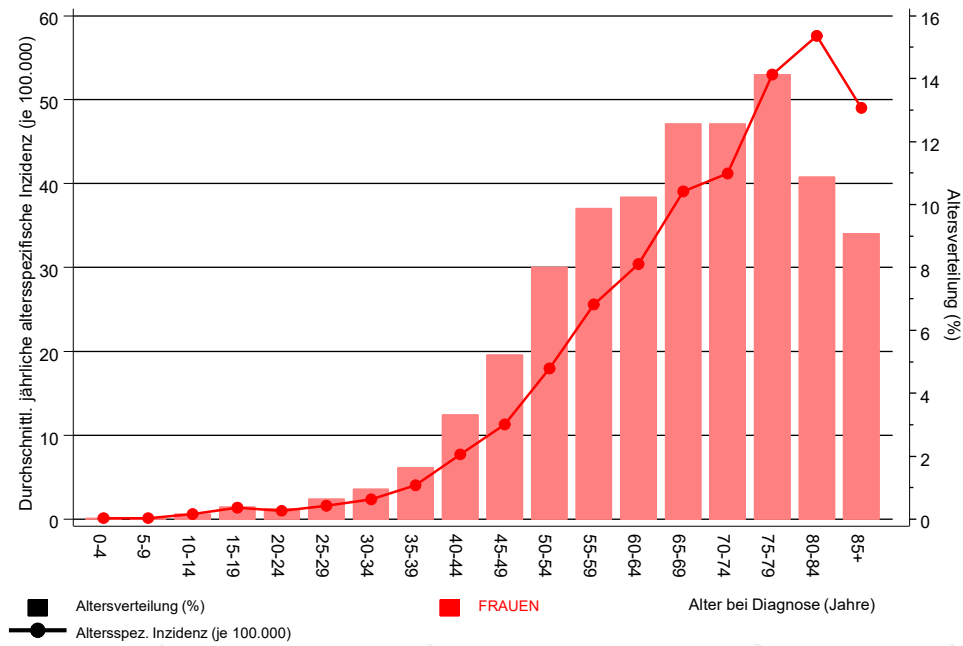


Abb. 6. Altersverteilung (Mittelwert=67,0 J., Median=68,7 J.) und altersspezifische Inzidenz.

ICD-10 C56: Bösartige Neubildung des Ovars (nur invasiv)
 Altersspezifische Inzidenzraten im internationalen Vergleich

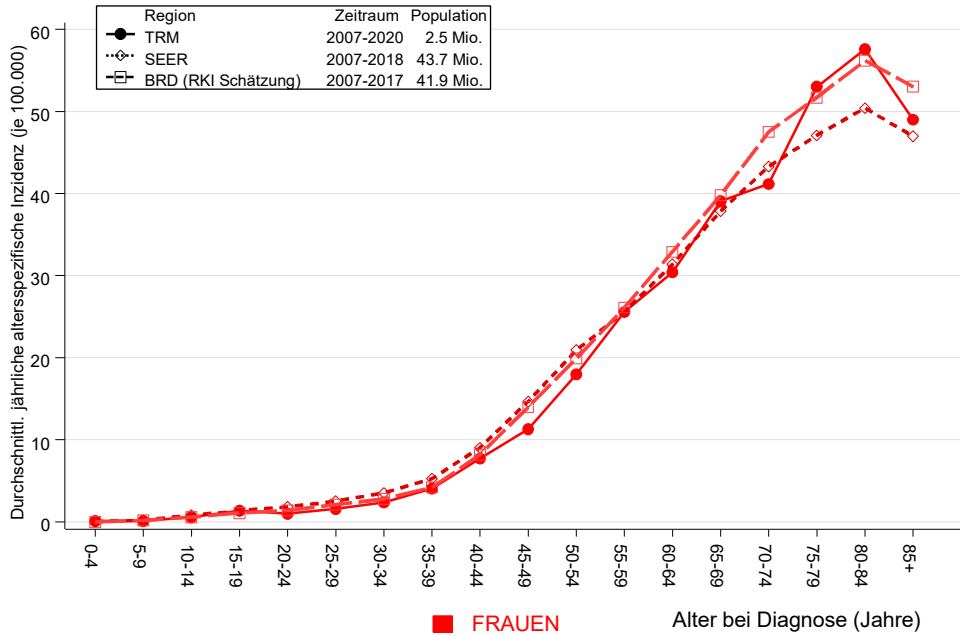


Abb. 6a. Altersspezifische Inzidenz im Einzugsgebiet des Tumorregisters München im Vergleich mit der BRD (RKI Schätzung) und SEER (Surveillance, Epidemiology, and End Results, USA).

Quelle:

Geschätzte altersspezifische Fallzahlen für Deutschland, letzte Aktualisierung: 16.03.2021. Zentrum für Krebsregisterdaten im Robert Koch-Institut (RKI) auf Basis der epidemiologischen Landeskrebsregisterdaten. <http://www.krebsdaten.de>. Abrufdatum: 17.08.2021
 Surveillance, Epidemiology, and End Results (SEER) Program SEER*Stat Database: Incidence - SEER 21 Regs Research Data, released April 2021, based on the November 2020 submission. <http://www.seer.cancer.gov>.

Tabelle 7

Standardisierte Inzidenzratio (SIR, mit 95%-Konfidenzintervallen),
zusätzliches absolutes Risiko (EAR) und DCO-Rate von weiteren Malignomen
für 1998-2020

Diagnose	Beobachtet	Erwartet	SIR	KI		EAR	DCO %
	n	n		95%	95%		
C03-C06 Mundhöhle	2	1.4	1.4	0.2	5.1	0.2	
C07-C08 Speicheldrüse	1	0.4	2.7	0.1	14.9	0.3	
C09-C10 Oropharynx	2	1.1	1.8	0.2	6.5	0.4	
C15 Ösophagus	4	1.6	2.5	0.7	6.4	1.0	25.0
C16 Magen	27	7.5	3.6	2.4	5.2 #	8.0	7.4
C17 Dünndarm	11	1.3	8.4	4.2	15.0 #	4.0	
C18 Kolon	76	21.6	3.5	2.8	4.4 #	22.4	18.4
C19-C20 Rektum	17	9.2	1.8	1.1	3.0 #	3.2	5.9
C21 Anus/Analkan	1	1.4	0.7	0.0	4.1	-0.2	
C22 Leber	5	2.8	1.8	0.6	4.1	0.9	20.0
C23-C24 Galle	8	3.1	2.6	1.1	5.1 #	2.0	37.5
C25 Pankreas	22	10.3	2.1	1.3	3.2 #	4.8	40.9
C26 Gastrointest.Ca	1	0.3	3.1	0.1	17.0	0.3	
C33-C34 Lunge	44	18.5	2.4	1.7	3.2 #	10.5	18.2
C38,C45 Mesotheliom	1	0.4	2.4	0.1	13.1	0.2	
C43 Malign. Melanom	9	9.5	0.9	0.4	1.8	-0.2	
C46,C49 Weichteilsarkom	3	1.3	2.2	0.5	6.5	0.7	
C48 Peritoneal	14	1.0	13.9	7.6	23.3 #	5.3	
C50 Mamma	191	77.2	2.5	2.1	2.9 #	46.9	5.2
C51 Vulva	9	2.4	3.8	1.7	7.2 #	2.7	11.1
C53 Cervix uteri	17	3.4	5.0	2.9	7.9 #	5.6	17.6
C54 Corpus uteri	229	13.6	16.8	14.7	19.1 #	88.7	3.9
C55,C57 Sonst.gyn.Tumor	3	0.4	7.0	1.4	20.5 #	1.1	66.7
C56 Ovar/Tube	7	9.7	0.7	0.3	1.5	-1.1	
C64 Niere	13	5.5	2.4	1.3	4.1 #	3.1	
C65 Nierenbecken	2	0.7	2.8	0.3	10.3	0.5	
C66 Harnleiter	2	0.4	5.4	0.7	19.5	0.7	50.0
C67 Harnblase	11	4.2	2.6	1.3	4.6 #	2.8	9.1
C70-C72 ZNS	5	3.1	1.6	0.5	3.7	0.8	20.0
C73 Schilddrüse	11	4.4	2.5	1.2	4.5 #	2.7	9.1
C76-C79 Unbek.Primär-Ca	11	3.9	2.8	1.4	5.0 #	2.9	27.3
C82-C85 Non-Hodgkin-L.	21	9.0	2.3	1.4	3.6 #	4.9	4.8
C90 Plasmozytom	7	2.8	2.5	1.0	5.2 #	1.7	14.3
C91-C96 Leukämie	6	3.3	1.8	0.7	4.0	1.1	16.7
Nicht beobachtet	0	4.0	0.0	0.0	0.9 #	-1.6	
Weitere Malignome gesamt	793	240.8	3.3	3.1	3.5 #	227.3	9.3
Patienten							7962
Altersmedian bei weiterem Malignom (Jahre)							67.6
Personenjahre							24291
Mittlere Beobachtungszeit (Jahre)							3.1
Mediane Beobachtungszeit (Jahre)							1.7

Das Auftreten des weiteren Malignoms ist statistisch auffällig.

Durchschnittliche Inzidenz (BRD 87-Standard) 2007 - 2020

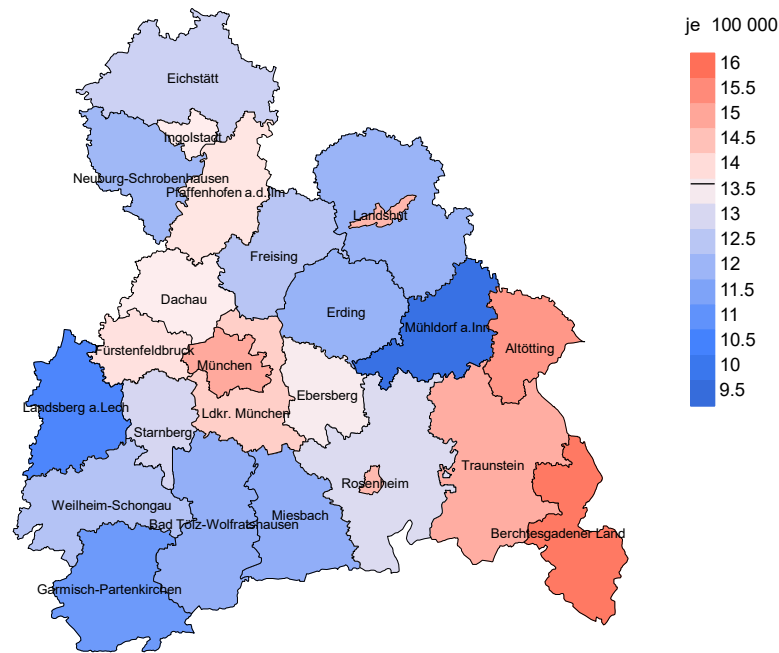


Abb. 8a. Kartierung der Inzidenz (BRD-Standard, einschl. DCO-Fälle) nach Landkreisen als Durchschnitt für die Diagnosejahrgänge 2007 bis 2020. Die rote bzw. blaue Farbe repräsentiert entsprechend ihrer Intensität höhere bzw. niedrigere Inzidenzen im Vergleich zum Mittel in der gesamten Region (13,7/100 000 WS N=5 638), weiß.

Vorsicht bei der Interpretation! Im Landkreis Ebersberg als Beispiel mit 67 727 weiblichen Einwohnern (gemittelt) sind zwischen 2007 und 2020 insgesamt 157 Frauen an Ovarialtumor neu erkrankt. Hieraus errechnet sich eine durchschnittliche Inzidenz (BRD-Standard) von 13,5/100 000. Unter Berücksichtigung möglicher Schwankungen kann die Inzidenz in diesem Landkreis mit einer Wahrscheinlichkeit von 99% zwischen 10,9 und 16,7/100 000 liegen.

Standardisierte Inzidenzratio (SIR) 2007 - 2020

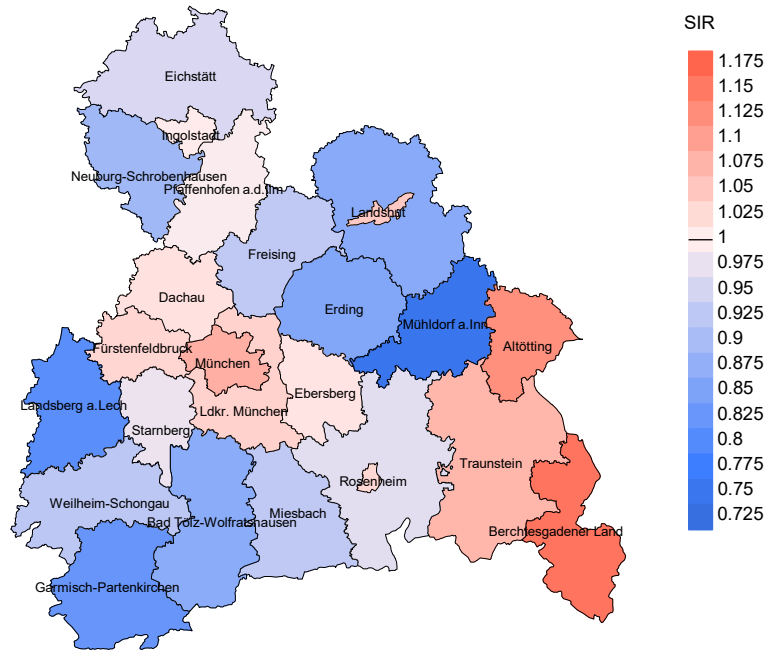


Abb. 8b. Kartierung der Standardisierten Inzidenzratio (SIR, einschl. DCO-Fälle) nach Landkreisen als Durchschnitt für die Diagnosejahrgänge 2007 bis 2020. Die rote bzw. blaue Farbe repräsentiert entsprechend ihrer Intensität höhere bzw. niedrigere SIR-Werte im Vergleich zum Erwartungswert der gesamten Region von 1.0 (N=5 638), weiß.

Vorsicht bei der Interpretation! Im Landkreis Ebersberg als Beispiel mit 67 153 weiblichen Einwohnern (gemittelt) sind zwischen 2007 und 2020 insgesamt 157 Frauen an Ovarialtumor neu erkrankt. Hieraus errechnet sich eine durchschnittliche Standardisierte Inzidenzratio (SIR) von 1.01. Unter Berücksichtigung möglicher Schwankungen kann der Wert in diesem Landkreis mit einer Wahrscheinlichkeit von 99% zwischen 0.82 und 1.24 liegen und gilt damit als statistisch unauffällig.

MORTALITÄT

Tabelle 9a

Jahrgangskohorten: Neuerkrankte Fälle, Follow-up-Status, Anteil von DCO, bisher aus der Kohorte Verstorbene und Anteil der Sterbefälle mit Todesbescheinigungen (ab 2002 erweitertes Einzugsgebiet von 2,65 auf 4,10 Mio., ab 2007 von 4,10 auf 4,94 Mio. berücksichtigt)

Diagnose- jahr	Neu- erkrankungen n	Anteil gutes Follow-up %	Anteil DCO %	Ver- storbene n	Anteil verstorben %	Anteil verstorben mit Todes- bescheinigung %
1998	280	97.9	16.1	234	83.6	87.2
1999	260	98.5	11.9	211	81.2	92.9
2000	267	98.1	15.0	217	81.3	93.5
2001	234	97.0	17.9	186	79.5	97.3
2002	427	98.6	18.3	357	83.6	96.9
2003	442	98.0	17.4	353	79.9	96.9
2004	382	97.9	16.5	321	84.0	97.2
2005	362	96.7	13.5	299	82.6	98.3
2006	403	98.0	11.4	323	80.1	97.8
2007	483	94.4	15.1	378	78.3	97.1
2008	493	98.4	14.2	371	75.3	95.7
2009	393	98.5	12.0	285	72.5	97.5
2010	447	97.5	13.2	348	77.9	94.5
2011	422	98.8	12.6	315	74.6	95.6
2012	392	98.0	8.9	272	69.4	97.1
2013	448	98.9	11.8	305	68.1	93.8
2014	404	96.8	13.6	266	65.8	94.0
2015	406	97.8	11.6	274	67.5	90.9
2016	420	99.5	11.0	261	62.1	83.5
2017	381	98.7	9.2	199	52.2	82.4
2018	358	99.4	7.0	147	41.1	73.5
2019	286	99.7	1.4	91	31.8	84.6
2020	306	99.7	1.0	66	21.6	97.0
1998-2020	8696	98.1	12.4	6079	69.9	93.8

Tabelle 9b

Jahrgangskohorten der neuerkrankten Fälle und der Sterbefälle sowie die Anzahl der Sterbefälle aus der Jahrgangskohorte der Neuerkrankten im gleichen Jahr und der prozentuale Anteil mit Todesbescheinigung (mit DCO)
(ab 2002 erweitertes Einzugsgebiet von 2,65 auf 4,10 Mio.,
ab 2007 von 4,10 auf 4,94 Mio. berücksichtigt)

Diagnose-/ Sterbe- jahr	Neu- erkrankungen n	Ver- storbene n	Anteil verstorben mit Todes- bescheinigung %	Verstorbene im selben Jahr n	Anteil verstorben im selben Jahr %
1998	280	186	87.6	69	24.6
1999	260	191	86.9	58	22.3
2000	267	175	90.9	63	23.6
2001	234	200	93.5	58	24.8
2002	427	313	96.5	134	31.4
2003	442	292	99.0	116	26.2
2004	382	288	98.3	104	27.2
2005	362	306	98.0	89	24.6
2006	403	285	96.5	100	24.8
2007	483	328	99.1	119	24.6
2008	493	351	100.0	119	24.1
2009	393	355	99.4	92	23.4
2010	447	350	98.3	117	26.2
2011	422	329	97.0	104	24.6
2012	392	286	96.5	81	20.7
2013	448	363	98.3	100	22.3
2014	404	302	98.3	99	24.5
2015	406	353	97.7	98	24.1
2016	420	359	98.9	100	23.8
2017	381	293	97.6	81	21.3
2018	358	278	66.9	68	19.0
2019	286	249	49.0	36	12.6
2020	306	278	88.1	44	14.4
1998-2020	8696	6710	93.7	2049	23.6

Tabelle 9c

Jahrgangskohorten der Sterbefälle, unterteilt nach wahrscheinlich tumorbedingt, wahrscheinlich nicht tumorbedingt und mit Krebsdiagnose auf Todesbescheinigung (mit DCO)

(ab 2002 erweitertes Einzugsgebiet von 2,65 auf 4,10 Mio.,
ab 2007 von 4,10 auf 4,94 Mio. berücksichtigt)

Sterbe- jahr	Verstorbene n	Anteil tumor- bedingt verstorben %	Anteil nicht tumorbedingt verstorben %	Anteil Krebs auf Todesbescheinigung %
1998	186	79.0	21.0	94.5
1999	191	81.7	18.3	93.4
2000	175	89.7	10.3	95.0
2001	200	88.0	12.0	93.6
2002	313	87.2	12.8	94.4
2003	292	88.7	11.3	92.7
2004	288	90.6	9.4	93.3
2005	306	92.5	7.5	95.0
2006	285	87.0	13.0	94.9
2007	328	90.5	9.5	93.8
2008	351	93.2	6.8	95.2
2009	355	88.5	11.5	93.5
2010	350	94.3	5.7	96.2
2011	329	87.8	12.2	92.8
2012	286	86.7	13.3	93.5
2013	363	87.9	12.1	91.3
2014	302	90.1	9.9	93.3
2015	353	86.1	13.9	89.6
2016	359	88.6	11.4	91.5
2017	293	86.7	13.3	90.2
2018	278	75.9	24.1	81.7
2019	249	70.3	29.7	88.5
2020	278	66.9	33.1	84.9
1998–2020	6710	86.5	13.5	92.5

Tabelle 10

Mediane zum Sterbealter für die Gruppierung der Tabelle 9

Sterbe- jahr	Verstorbene n	Sterbe- alter Jahre	Sterbe- alter tumor- bedingt verstorben Jahre	Sterbe- alter nicht tumor- bedingt verstorben Jahre	Sterbe- alter bei Krebs auf Todes- bescheinigung Jahre
1998	186	74.6	73.5	79.0	74.7
1999	191	74.3	72.4	79.6	75.2
2000	175	73.0	73.2	71.9	73.8
2001	200	73.4	70.2	86.6	72.5
2002	313	73.7	72.5	82.9	73.1
2003	292	74.3	73.3	84.3	73.4
2004	288	73.8	73.3	82.5	73.3
2005	306	73.6	72.0	83.7	72.7
2006	285	74.6	73.2	83.0	73.9
2007	328	75.8	74.3	83.9	75.1
2008	351	74.6	74.0	87.8	74.2
2009	355	72.8	71.9	81.1	72.1
2010	350	75.0	74.6	86.1	74.9
2011	329	73.0	71.9	83.0	72.5
2012	286	76.1	74.4	86.8	74.9
2013	363	74.8	74.0	87.3	74.2
2014	302	74.2	73.7	84.4	73.7
2015	353	75.1	73.9	84.8	74.3
2016	359	73.8	72.8	82.0	73.2
2017	293	77.6	76.5	86.7	76.7
2018	278	76.5	74.7	81.6	76.6
2019	249	74.9	73.6	77.9	73.5
2020	278	77.3	75.8	79.1	76.2
1998–2020	6710	74.6	73.5	82.5	74.0

Für in 2018 neugeborene Jungen in Bayern beträgt die mittlere Lebenserwartung 79,3 Jahre und für neugeborene Mädchen 83,8 Jahre.

Als tumorbedingt verstorben gilt, wer als Todesursache 'tumorabhängig' und/oder als Progressionsangabe 'tumorabh. Tod', 'Metastase' oder 'Progression' aufwies.

Tabelle 11

Mortalität (tumorbedingter Tod) und Mortalitäts-Inzidenz-Index nach Sterbejahr

Sterbe- jahr	Verst. n	Mort. roh	MI-Index roh	Mort. WS	MI-Index WS	Mort. ES	MI-Index ES	Mort. BRD-S	MI-Index BRD-S
1998	147	12.5	0.53	5.5	0.42	8.3	0.47	10.5	0.50
1999	156	13.1	0.60	5.6	0.52	8.6	0.55	11.3	0.60
2000	157	13.1	0.59	5.6	0.49	8.4	0.53	11.0	0.57
2001	176	14.5	0.75	6.5	0.63	9.6	0.68	12.0	0.73
2002	273	13.9	0.64	6.2	0.58	9.2	0.60	11.7	0.62
2003	259	13.1	0.59	5.6	0.49	8.3	0.52	10.9	0.56
2004	261	13.2	0.68	5.6	0.56	8.2	0.59	10.6	0.64
2005	283	14.2	0.78	6.1	0.70	9.0	0.73	11.5	0.77
2006	248	12.3	0.62	5.1	0.53	7.6	0.55	9.8	0.59
2007	297	12.9	0.61	5.1	0.51	7.7	0.54	10.1	0.59
2008	327	14.1	0.66	5.6	0.53	8.4	0.57	11.0	0.62
2009	314	13.5	0.80	5.8	0.72	8.5	0.74	10.7	0.76
2010	330	14.1	0.74	5.4	0.60	8.1	0.63	10.8	0.69
2011	289	12.4	0.68	5.2	0.59	7.7	0.63	9.8	0.66
2012	248	10.5	0.63	4.0	0.50	6.1	0.56	8.0	0.60
2013	319	13.4	0.71	5.2	0.55	7.7	0.60	10.1	0.65
2014	272	11.3	0.67	4.4	0.54	6.6	0.58	8.5	0.63
2015	304	12.5	0.75	4.9	0.62	7.3	0.65	9.5	0.70
2016	318	13.0	0.76	5.5	0.71	8.0	0.73	10.0	0.74
2017	254	10.3	0.67	3.6	0.49	5.6	0.54	7.5	0.60
2018	211	8.5	0.59	3.3	0.45	4.9	0.49	6.4	0.54
2019	175	7.0	0.61	2.9	0.52	4.2	0.55	5.3	0.57
2020	186	7.5	0.61	2.9	0.45	4.3	0.48	5.5	0.54
1998-2020	5804	12.0	0.67	4.9	0.55	7.3	0.59	9.4	0.63

Tabelle 12

Altersverteilung des Sterbealters (tumorbedingter Tod) für 2007–2020
(**Einschl. Mehrfachmalignome**)

Alter bei Tod Jahre	Anzahl n	%	Kum. %
0-4			
5-9			
10-14			
15-19	2	0.1	0.1
20-24	3	0.1	0.1
25-29	8	0.2	0.3
30-34	9	0.2	0.6
35-39	22	0.6	1.1
40-44	60	1.6	2.7
45-49	119	3.1	5.8
50-54	170	4.4	10.2
55-59	248	6.5	16.7
60-64	335	8.7	25.4
65-69	471	12.3	37.6
70-74	627	16.3	54.0
75-79	666	17.3	71.3
80-84	562	14.6	85.9
85+	542	14.1	100.0
Gesamt	3844	100.0	

Tabelle 13

Altersspezifische Mortalität (tumorbed. Tod), Anteil an allen Krebserkrankungen
für 2007-2020
(Einschl. Mehrfachmalignome)

Alter bei Tod Jahre	Anzahl n	Altersspez. Mortalität	MI-Index	Anteil Krebs %
0- 4		0.0		
5- 9		0.0		
10-14		0.0		
15-19	2	0.1	0.09	8.0
20-24	3	0.2	0.16	7.0
25-29	8	0.4	0.22	8.1
30-34	9	0.4	0.17	5.0
35-39	22	1.0	0.24	5.4
40-44	60	2.5	0.32	7.0
45-49	119	4.6	0.40	7.1
50-54	170	6.8	0.38	6.4
55-59	248	11.4	0.45	6.5
60-64	335	17.6	0.58	6.7
65-69	471	26.0	0.67	6.8
70-74	627	36.5	0.89	7.2
75-79	666	44.4	0.84	6.8
80-84	562	52.8	0.92	6.0
85+	542	52.0	1.06	4.5
Gesamt	3844			6.2
Mortalität				
Roh		11.4	0.68	
WS		4.5	0.56	
ES		6.7	0.59	
BRD-S		8.7	0.64	
PYLL-70				
je 100.000		55.7		
ES		46.6		
AYLL-70		10.9		

Tabelle 14

Weitere Malignome bei Verstorbenen in den Jahren 1998-2020

Diagnose	Anzahl n	Anteil gesamt		Vorher		Syn- chron ±30d		Nach- her	
		n	%↓	n	←%	n	←%	n	←%
C00 Lippe	2	0.1	2	100.0					
C03-C06 Mundhöhle	7	0.4	3	42.9				4	57.1
C07-C08 Speicheldrüse	2	0.1						2	100.0
C15 Ösophagus	2	0.1						2	100.0
C16 Magen	60	3.5	16	26.7	8	13.3	36	60.0	
C17 Dünndarm	12	0.7	3	25.0	4	33.3	5	41.7	
C18 Kolon	178	10.2	81	45.5	32	18.0	65	36.5	
C19-C20 Rektum	62	3.6	27	43.5	16	25.8	19	30.6	
C21 Anus/Analkanal	7	0.4	3	42.9	1	14.3	3	42.9	
C22 Leber	9	0.5	1	11.1			8	88.9	
C23-C24 Galle	19	1.1	8	42.1	3	15.8	8	42.1	
C25 Pankreas	55	3.2	11	20.0	6	10.9	38	69.1	
C26 Gastrointest.Ca	5	0.3	2	40.0	1	20.0	2	40.0	
C30-C31 Nasen- u. NNH	2	0.1	2	100.0					
C33-C34 Lunge	63	3.6	11	17.5	10	15.9	42	66.7	
C38,C45 Mesotheliom	2	0.1	1	50.0			1	50.0	
C40-C41 Knochen	4	0.2	1	25.0			3	75.0	
C43 Malign. Melanom	51	2.9	37	72.5	2	3.9	12	23.5	
C44 Sonst.Ca Haut	75	4.3	39	52.0	10	13.3	26	34.7	
C46,C49 Weichteilsarkom	7	0.4	2	28.6	1	14.3	4	57.1	
C48 Peritoneal	54	3.1	31	57.4	10	18.5	13	24.1	
C50 Mamma	555	32.0	391	70.5	44	7.9	120	21.6	
C51 Vulva	15	0.9	5	33.3	2	13.3	8	53.3	
C52 Vagina	2	0.1	1	50.0			1	50.0	
C53 Cervix uteri	64	3.7	45	70.3	12	18.8	7	10.9	
C54 Corpus uteri	165	9.5	34	20.6	110	66.7	21	12.7	
C55,C57 Sonst.gyn.Tumor	15	0.9	5	33.3	3	20.0	7	46.7	
C56 Ovar/Tube	30	1.7			2	6.7	28	93.3	
C64 Niere	30	1.7	15	50.0	3	10.0	12	40.0	
C65 Nierenbecken	3	0.2	1	33.3			2	66.7	
C66 Harnleiter	4	0.2	1	25.0			3	75.0	
C67 Harnblase	29	1.7	10	34.5	1	3.4	18	62.1	
C69 Augenmelanom	3	0.2	3	100.0					
C70-C72 ZNS	12	0.7	1	8.3	2	16.7	9	75.0	
C73 Schilddrüse	25	1.4	20	80.0	1	4.0	4	16.0	
C74-C80 Sonst. Tumor	2	0.1	1	50.0			1	50.0	
C76-C79 Unbek.Primär-Ca	38	2.2	18	47.4	5	13.2	15	39.5	
C81 M.Hodgkin-L.	2	0.1	1	50.0	1	50.0			
C82-C85 Non-Hodgkin-L.	43	2.5	24	55.8	7	16.3	12	27.9	
C90 Plasmozytom	6	0.3	1	16.7	1	16.7	4	66.7	
C91-C96 Leukämie	10	0.6	2	20.0	1	10.0	7	70.0	

Tabelle 14

Weitere Malignome bei Verstorbenen in den Jahren 1998–2020

Diagnose	Anzahl n	Anteil gesamt %↓	Vorher n	Vorher ←%	Syn- chron ±30d n	Syn- chron ±30d ←%	Nach- her n	Nach- her ←%
Sonst. Malignome	6	0.3	3	50.0	1	16.7	2	33.3
Weitere Malignome gesamt	1737	100.0	863	49.7	300	17.3	574	33.0

Weitere Tumoren mit einer Fallzahl 1 sind in der Kategorie „Sonst. Malignome“ zusammengefasst.

ICD-10 C44 (Sonstige bösartige Neubildungen der Haut) wird nicht systematisch erhoben und nicht als Ersttumor ausgewertet, sondern nur als weiterer Tumor ausgewiesen.

Tabelle 15

Altersspezifische Mortalität (tumorbed. Tod), Anteil an allen Krebserkrankungen für 2007-2020
(Nur Erstmaligome *)

Alter bei Tod Jahre	Anzahl n	Altersspez. Mortalität	MI-Index	Anteil Krebs %
0- 4		0.0		
5- 9		0.0		
10-14		0.0		
15-19	2	0.1	0.09	8.7
20-24	3	0.2	0.18	7.3
25-29	5	0.2	0.15	5.5
30-34	8	0.4	0.16	5.0
35-39	18	0.8	0.22	4.9
40-44	55	2.3	0.35	7.3
45-49	94	3.6	0.40	6.5
50-54	137	5.5	0.39	6.1
55-59	207	9.5	0.47	6.5
60-64	270	14.2	0.60	6.6
65-69	375	20.7	0.66	6.8
70-74	502	29.2	0.92	7.4
75-79	541	36.0	0.91	7.2
80-84	440	41.3	0.92	6.1
85+	447	42.9	1.11	4.7
Gesamt	3104			6.3
Mortalität				
Roh		9.2	0.70	
WS		3.7	0.56	
ES		5.5	0.61	
BRD-S		7.0	0.65	
PYLL-70				
je 100.000		45.7		
ES		38.3		
AYLL-70		11.0		

* Siehe vergleichbare Tabellen mit Mehrfachmalignomen.

Tabelle 16

Altersspezifische Mortalität (tumorbed. Tod), Anteil an allen Krebserkrankungen für 2007-2020

(Nur Einfachmalignome *)

Alter bei Tod Jahre	Anzahl n	Altersspez. Mortalität	MI-Index	Anteil Krebs %
0- 4		0.0		
5- 9		0.0		
10-14		0.0		
15-19	2	0.1	0.10	9.1
20-24	3	0.2	0.18	7.5
25-29	5	0.2	0.15	5.7
30-34	7	0.3	0.14	4.5
35-39	15	0.7	0.19	4.1
40-44	52	2.1	0.35	7.0
45-49	88	3.4	0.39	6.2
50-54	126	5.0	0.38	5.7
55-59	198	9.1	0.46	6.3
60-64	249	13.1	0.60	6.2
65-69	335	18.5	0.63	6.2
70-74	457	26.6	0.91	7.0
75-79	485	32.3	0.85	6.7
80-84	391	36.7	0.85	5.6
85+	388	37.2	0.98	4.3
Gesamt	2801			5.9
Mortalität				
Roh		8.3	0.66	
WS		3.3	0.54	
ES		5.0	0.58	
BRD-S		6.4	0.62	
PYLL-70				
je 100.000		42.5		
ES		35.6		
AYLL-70		11.1		

* Siehe vergleichbare Tabellen mit Mehrfachmalignomen.

ICD-10 C56: Bösartige Neubildung des Ovars (nur invasiv)

Altersverteilung und altersspez. Mortalität 2007 - 2020 (n=3844)

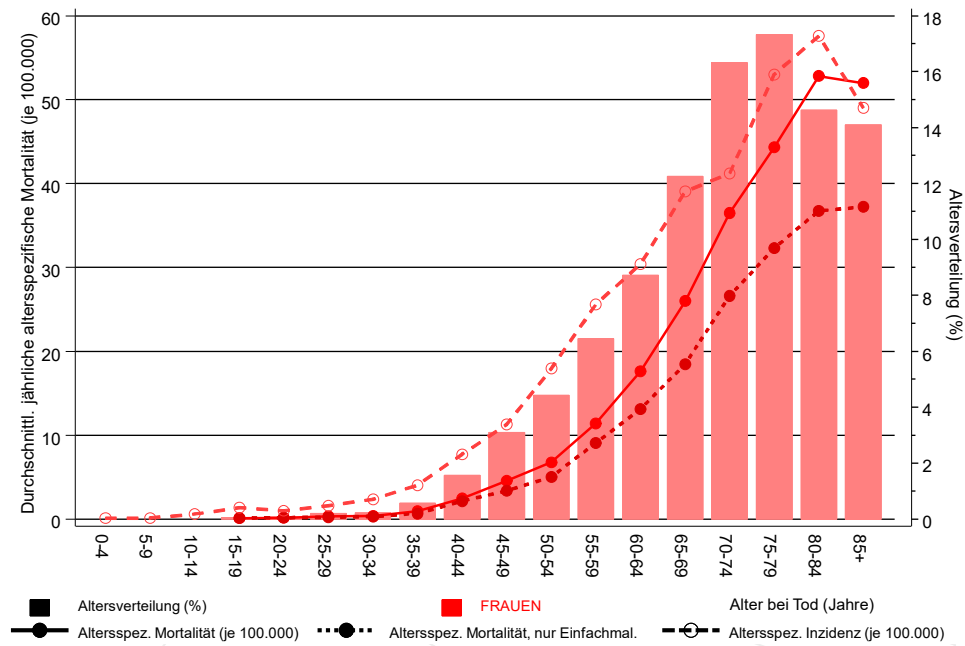


Abb. 17. Verteilung des Sterbealters (Säulen; Mittelwert=68,3 J., Median=69,9 J.) und altersspezifische Mortalität (alle Patienten: durchgezogene Linie, nur Patienten mit Einfachmalignomen: gepunktete Linie). Zum Vergleich ist die altersspezifische Inzidenz (gestrichelte Linie) eingezeichnet.

Zu beachten ist der Unterschied zwischen Alter bei Diagnose (Tab. 3) und dem Ovarialtumorbedingten Tod (s. Tab. 10).

Durchschnittliche Mortalität (BRD 87-Standard) 2007 - 2020

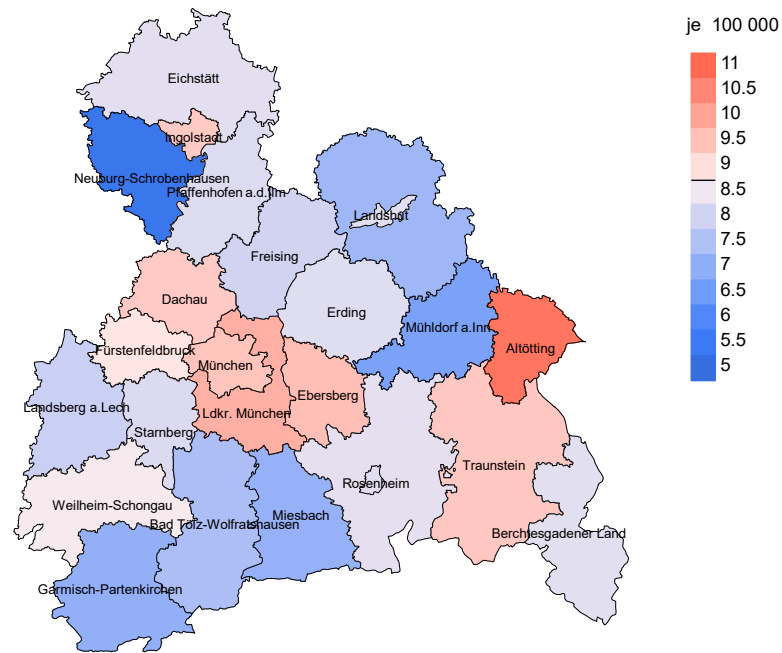


Abb. 18a. Kartierung der Mortalität (BRD-Standard) nach Landkreisen als Durchschnitt für die Diagnosejahrgänge 2007 bis 2020. Die rote bzw. blaue Farbe repräsentiert entsprechend ihrer Intensität höhere bzw. niedrigere Mortalitäten im Vergleich zum Mittel in der gesamten Region (8,7/100 000 WS N=3844), weiß.

Vorsicht bei der Interpretation! Im Landkreis Ebersberg als Beispiel mit 67 727 weiblichen Einwohnern (gemittelt) sind zwischen 2007 und 2020 insgesamt 117 Frauen mit Ovarialtumor verstorben. Hieraus errechnet sich eine durchschnittliche Mortalität (BRD-Standard) von 9,5/100 000. Unter Berücksichtigung möglicher Schwankungen kann die Mortalität in diesem Landkreis mit einer Wahrscheinlichkeit von 99% zwischen 7,4 und 12,1/100 000 liegen.

Standardisierte Mortalitätsratio (SMR) 2007 - 2020

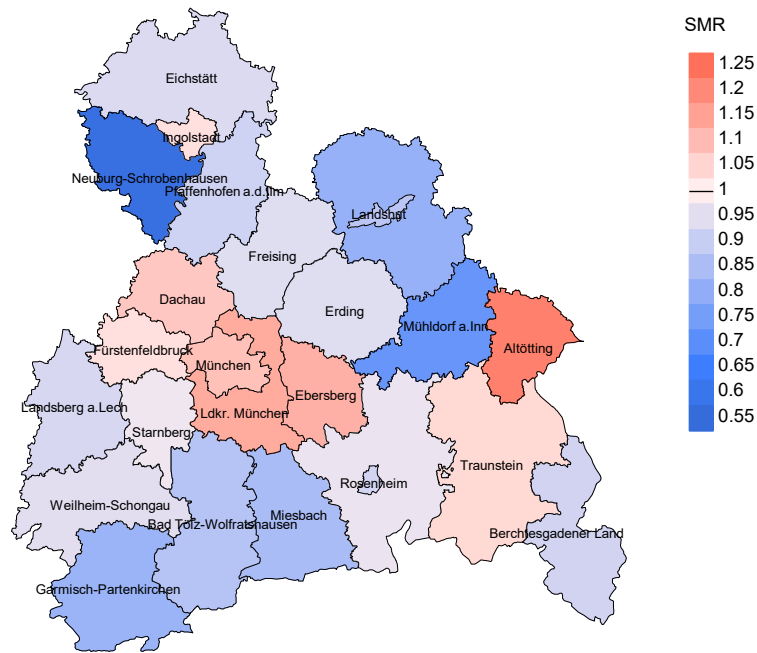


Abb. 18b. Kartierung der Standardisierten Mortalitätsratio (SMR, einschl. DCO-Fälle) nach Landkreisen als Durchschnitt für die Diagnosejahrgänge 2007 bis 2020. Die rote bzw. blaue Farbe repräsentiert entsprechend ihrer Intensität höhere bzw. niedrigere SMR-Werte im Vergleich zum Erwartungswert der gesamten Region von 1.0 (N=3 844), weiß.

Vorsicht bei der Interpretation! Im Landkreis Ebersberg als Beispiel mit 67 153 weiblichen Einwohnern (gemittelt) sind zwischen 2007 und 2020 insgesamt 117 Frauen mit Ovarialtumor verstorben. Hieraus errechnet sich eine durchschnittliche standardisierte Mortalitätsratio (SMR) von 1.12. Unter Berücksichtigung möglicher Schwankungen kann der Wert in diesem Landkreis mit einer Wahrscheinlichkeit von 99% zwischen 0.87 und 1.42 liegen und gilt damit als statistisch unauffällig.

Statistische Erläuterungen

In allen Tabellen und Abbildungen ist auf die jeweilige Bezugsgröße zu achten. Bei der Inzidenz sind es Diagnosen einschließlich der DCO-Fälle (wo verfügbar), bei der Mortalität Patienten, Diagnosen und ausgewählte Krankheitsverläufe. In die Berechnungen gehen alle Krankheitsverläufe ein, bei denen Progressionen aufgetreten sind und/oder die Todesbescheinigung eine progrediente Krebserkrankung enthielt. Zusätzlich sind 3 Gruppen von Krankheitsverläufen zu unterscheiden:

1. Einschließlich aller Mehrfachmalignome

Die Kenngrößen zur Mortalität beschreiben den tumorabhängigen Tod, unabhängig von welchem Malignom. Die Sicht der Patienten, induzierte Zweitmalignome, die Problematik der Mehrfachmalignome der gleichen Krebserkrankung sprechen für die Einbeziehung.

2. Nur singuläre Erstmalignome (keine anderes Malignom vorher oder gleichzeitig bekannt)

Die Kenngrößen zur Mortalität beschreiben den tumorabhängigen Tod für Patienten, die keine Therapierestriktionen wegen einer weiteren Krebserkrankung haben. Diese Kenngrößen sind mit Studien vergleichbar, die in der Regel Zweitmalignome als Ausschlusskriterium behandeln.

3. Einfachmalignome (keine anderes Malignom vorher, gleichzeitig oder nachher bekannt)

Die Kenngrößen zur Mortalität beschreiben den tumorabhängigen Tod, der durch die Behandlung erreicht wurde. Gerade der Unterschied zu 1. und 2. verdeutlicht die Größenordnung des Zweitmalignomproblems.

Damit ergeben sich Unterschiede zur monokausalen amtlichen Mortalitätsstatistik. Zur Beurteilung der Spannweite werden zwei weitere Tabellen aufbereitet. Zum einen werden die Verteilungen der Zweitmalignome vor bzw. gleichzeitig oder nach der beschriebenen Krebserkrankung dargestellt, die eine alternative Todesursache sein können. Zum anderen werden die altersspezifischen Mortalitätsraten für alle Krankheitsverläufe ohne Zweitmalignome ausgewiesen.

Eine bisher wenig beachtete Kenngröße ist das **Sterbealter**, das die Qualität der Klassifikation als wahrscheinlich tumorbedingter Tod gut beurteilen lässt. Für die wahrscheinlich tumorunabhängigen Sterbefälle sollte sich das Sterbealter aus dem Alter bei Diagnosestellung und der Lebenserwartung ergeben, für die tumorabhängigen Sterbefälle aus dem Alter bei Diagnosestellung plus der mittleren Überlebenszeit bei tumorbedingtem Tod. Beim Vergleich verschiedener Tumoren zeigt sich dieser Zusammenhang, wenn die Ursachen für Krebserkrankungen und konkurrierende Todesursachen unabhängig sind (z.B. Brust und Darm vs. Kopf/Hals und Lunge).

Der Index aus Mortalität und Inzidenz (Mortalitäts-Inzidenz-Index, **MI-Index**) ist eine Kenngröße zur Beurteilung der Datenqualität. Für prognostisch ungünstige Erkrankungen ergeben sich vergleichbare Werte für alle Altersklassen, weil Zähler und Nenner weitgehend dieselben Fälle betreffen. Bei prognostisch günstigen Tumoren, steigender und fallender Inzidenz und altersspezifischen Prognoseunterschieden kann der Index stärker variieren. Zusätzlich sind die Konfidenzintervalle bei kleinen Fallzahlen zu beachten.

Die hier angedeutete Problematik unterstreicht die Bedeutung des relativen Überlebens zur Bewertung der Langzeitergebnisse.

Als Maßzahlen für die Belastung durch eine Krankheit lassen sich u.a. die Anzahl von potenziell verlorenen Lebensjahren einer Kohorte (**PYLL**, potential years of life lost, standardisiert je 100 000 der Population oder nach Europastandard) und der durchschnittliche Verlust an Lebensjahren pro Individuum (**AYLL**, average years of life lost) durch vorzeitigen Tod berechnen. Je nach Zielrichtung (Gesundheitsökonomie, Prävention, Versorgungsforschung) existieren unterschiedliche Methoden zur Generierung dieser Maßzahlen. In der vorliegenden Auswertung ist entsprechend den Vorgaben der OECD und der WHO als Limit für einen vorzeitigen Tod das Lebensalter von 70 Jahren definiert, wie durch die Abkürzungen PYLL-70 bzw. AYLL-70 verdeutlicht.

Abkürzungen

TRM	Tumorregister München
GEKID SEER	Gesellschaft der epidemiologischen Krebsregister in Deutschland e.V. Surveillance, Epidemiology, and End Results (USA)
DCO	Diagnose nur aus Todesbescheinigung bekannt (death certificate only)
BRD-S ES WS	BRD-Standard Europastandard (alt) Weltstandard
SIR	Standardisierte Inzidenzrate (standardized incidence ratio)
KI	Konfidenzintervall
EAR	Zusätzliches absolutes Risiko (excess absolute risk) = Vermehrte Anzahl von Krebsfällen (O - E) pro 10.000 Beobachtungsjahre
PYLL-70 AYLL-70	Verlorene Lebensjahre bis zum 70. Lebensjahr für davor Verstorbene Pro Person verlorene Lebensjahre bis zum 70. Lebensjahr für davor Verstorbene
SMR	Standardisierte Mortalitätsrate (standardized mortality ratio)
MI-Index	Verhältnis Mortalität zu Inzidenz

Empfohlene Zitierweise

Tumorregister München. ICD-10 C56: Ovarialtumor - Inzidenz und Mortalität [Internet]. 2021 [aktualisiert 20.12.2021]. Abrufbar von: https://www.tumorregister-muenchen.de/facts/base/bC56__G-ICD-10-C56-Ovarialtumor-Inzidenz-und-Mortalitaet.pdf

Autorenrechte

Der Zugang zu den vom Tumorregister München im offenen Internet bereitgestellten Inhalten ist weltweit verfügbar und kostenfrei. Die Dokumente dürfen unter Benennung der Urheberschaft frei heruntergeladen, genutzt, kopiert, gedruckt oder verteilt werden.

Haftungsausschluss

Das Tumorregister München übernimmt keinerlei Gewähr für die Aktualität, Korrektheit, Vollständigkeit oder Qualität der im Internet bereitgestellten Inhalte.